

J. Biomed. Eng. Res.  
Vol. 23, No. 4, 317-322, 2002

## 골절치료용 체외고정기기 개발을 위한 연구

윤희열\* · 한정수\*\* · 한창수\*\*\*

\*한양대학교 대학원 기전공학과, \*\*한성대학교 기계시스템공학부, 안전과학기술연구소, \*\*\*한양대학교 기계공학과  
(2002년 5월 20일 접수, 2002년 8월 21일 채택)

## Development of the External Fixator for a Bone Fracture

H.Y. Yoon\*, J.S. Han\*\*, C.S. Han\*\*\*

\*Dept. of Mechatronic Eng., Hanyang, \*\*Dept. of Mechanical system Eng. and CSST, Hansung,  
\*\*\*Dept. of Mechanical Eng., Hanyang

(Received May 20, 2002. Accepted August 21, 2002)

**요약 :** 본 논문에서는 연구를 통하여 지금까지 개발된 체외고정기기의 문제점을 파악하고, 기존의 단점을 보완하기 위하여 제품이 가져야 할 특성을 나열하였다. 이를 위해서 X-ray 투과성을 이용하여 신체내부를 연속적인 동화상으로 구현해주는 장치인 C-arm을 이용하였다. 이 데이터를 토대로 하여 실제 기구부 설계 시 중요한 설계요건을 도출할 수 있었다. 원위요골 (Distal Radius) 골절의 치료를 위해 적용되어야 할 기본 메커니즘을 확정한 후, 3차원 설계작업을 위한 tool인 Solid Edge program을 이용하여 실측에 가까운 기구부 설계를 정밀하게 구현하는 작업을 마침으로써 실제 시제품 제작을 위한 모든 제반과정을 수행하였다.

**Abstract :** In this paper, the problems of the external fixator that have developed for a distal radius fracture so far are analyzed, and accordingly, the characterizations, which must have a prototype, are arranged. C-Arm is used. This instrument makes it possible for the real play of the internal body by x-ray permeability. From this data, it is possible to induce important design factors. Finally, a basic mechanism, which has to be applied, is decided, and the Solid Edge program, which uses a 3-D design tool, completes then total instrument design.

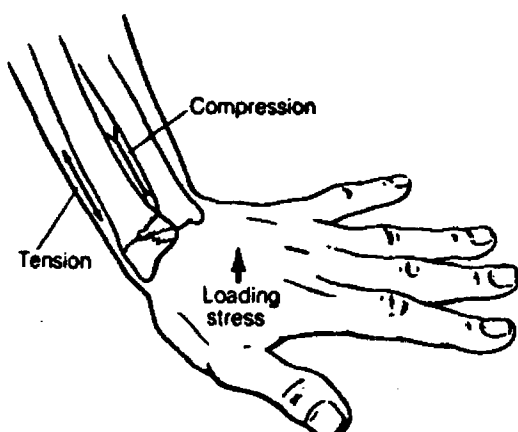
**Key words :** Distal Radius Fracture(원위요골 골절), External fixator(체외고정기구), C-Arm(엑스선 촬영장비)

### 서 론

원위요골 골절의 치료를 위한 체외고정기기로 대표적인 제품으로 Stableloc (Acumed), Ace-Colles' Fixator (ACE), DynaFix System (EBI), Orthofix 등이 있다.

그러나, 이 제품들은 치료후의 임상결과에 대한 안정성 및 시술의 편리성이 확보 되지 않고 있다. 또한 원위요골 골절 치료용 체외고정기기에 대한 국내의 제품으로 개발된 것은 전무하며, 수입 제품의 고가로 인한 국내 환자들의 혜택을 기대하기가 어려운 실정이다. Fig.1에서 원위요골 골절의 메커니즘을 살펴 보면, 원위요골 골절의 상당수는 심한 분쇄골절로서 단순한 석고 고정만으로는 골절면이 원상태로 복원되기를 기대

하기가 어렵다. 뿐만 아니라, 요골의 분쇄와 함께 골 결손을 동반하는 불안정 골절은 상당히 장기간의 치료를 요하고 있다. 장기



통신저자 : 한창수

Tel. (031)400-4300, Fax. (031)406-6242  
E-mail. cshan@hanyang.ac.kr

Fig. 1. A Bone Fracture Aspect Of The Distal Radius

간(6주~8주)에 걸쳐서 유지하는 골절부위의 신연(Distraction)은 수근관절 주위의 연부 조직인 인대, 관절낭, 근육 및 건 등을 신연 된 상태에서 치료함으로써, 수근관절의 불안정성이나 수근관절 주위의 강직을 일으키며, 관절연골의 연화 및 괴사를 동반할 뿐만 아니라, 반사성 교감신경 이영양증 및 수근관절 주위의 심한 골 조송증 등을 유발하는 문제점을 갖고 있다.

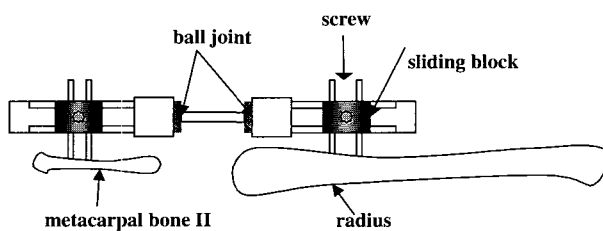


Fig. 2. The Existing Dynamic External Fixator

조기에 수근관절의 운동을 시도하고자 동적체외고정기기가 사용되고 있으나(Fig 2), 수근관절의 굴곡 및 신전 운동 시에, 수근관절의 생리학적인 회전축에 고정기기의 관절 축을 맞추기 힘들게 되어 있다. 또한 동적 고정기기의 대표적인 만능관절(Universal Joint)을 가진 고정기는 흔히 요골 측에 부착함으로써, 조기 관절운동을 위하여 고정기기의 관절을 풀었을 때, 요골 측 신연력에 의하여 손목은 척골축으로 변위 되는 양상을 보이고 있다. 즉 골절부위의 전위 혹은 과도한 압박이 발생하게 된다. 이는 만능관절로 구성된 고정기기 뿐만 아니라, 한 축의 회전만 허용하는 Hinge Joint로 구성된 고정기기에서도 일반적으로 나타나는 임상 결과라 할 수 있겠다.

기존의 외고정 기기의 단점을 보완하는 본 논문에서의 개발품은 첫째 체외고정기를 시술한 후에도 조기관절 운동시에 수근관절의 생리학적 운동을 저해하거나 원위요골 골절부위에 불필요한 힘이 가해지지 않도록 고정기기의 회전축과 수근관절의 생리적 회전축인 유두골 근위부를 일치시킬 수 있도록 고안한다.

둘째 고정기기의 관절은 한 방향으로만 회전 하여야 만능관절을 사용하였을 때 나타나는 골절부위의 전위나 압박을 방지할 수

있다. 굴신 운동 시 골절부위가 가장 안정된 것으로 생각되고 있기 때문에(미발표 자료), 본 외 고정기기도 굴신운동만을 허용하고, 요-척축 변위는 허용하지 않는 관절을 설계한다.

셋째 본 개발 품은 X,Y,Z 방향의 세 개의 축과 고정기기의 종축(Longitudinal Axis)을 따라, 고정기기 본체를 구성하는 근위 및 원위 부분이 사용에 맞게 움직여 질 수 있는 기어장치를 새롭게 고안하여 골절부위를 정복할 수 있도록 하였다.

## 손목 관절의 거동 해석

### 1. C-arm을 이용한 데이터 획득

본 논문에서 운동하는 손목관절의 회전축 변위를 측정, 분석하기 위하여 C-Arm을 이용하였다. C-Arm은 X-Ray의 투과성을 이용하여 신체내부의 연속적인 동화상을 직접적으로 볼 수 있도록 하여준다. 데이터의 정확한 획득을 위하여 C-Arm에서 나온 동화상을 디지털 캠코더에 저장한 후 PC(Personal Computer)에서 처리가 가능한 포맷으로 전환하였다. 그 후, 동화상의 각 프레임을 담아 손목부위와 고정기기가 고정되는 주요부위의 뼈에 대하여 좌표 값을 획득하도록 하였다. Fig.3은 C-Arm을 이용해 얻은 동화상 중 일부를 보여주는 것이다.

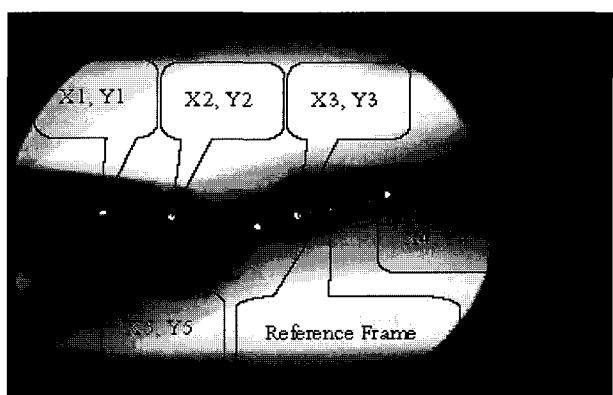


Fig. 3. The Lateral Wrist View By C-Arm

위의 그림에서 (X3-Y3)-(X4-Y4)간에 이루는 강체를 기준 프레임으로 하여 (X1,Y1)-(X2-Y2)간에 이루는 강체와의 상대 운동을 파악 하였다. 2초 간격으로 프레임을 나주어서 움직임

Table 1. Coordinate Value With Standard Point X3, Y3

X1	3.23	3.66	3.65	3.4	3.33	3.76	3.6	3.56	3.23	2.54	2.66	2.28	2.5
Y1	-9.1	-9.57	-11.38	-12.6	-14.04	-15.12	-15.72	-16.3	-14.56	-11.96	-11.39	-9.74	-7.2
X2	7.99	8.37	8.41	7.89	7.72	7.88	7.36	7.26	7.35	6.98	7.31	6.89	7.04
Y2	-9.53	-9.74	-11.01	-11.23	-12.13	-12.74	-12.91	-13.02	-12.24	-10.76	-10.76	-9.9	-8.95
X3	0	0	0	0	0	0	0	0	0	0	0	0	0
Y3	0	0	0	0	0	0	0	0	0	0	0	0	0
X4	17.68	18.18	18.09	17.81	17.27	17.43	16.78	16.68	16.92	16.83	17.11	16.71	16.55
Y4	-8.68	-8.79	-9.67	-9.57	-9.57	-9.87	-9.95	-9.77	-9.41	-8.31	-9.03	-8.77	-8.23

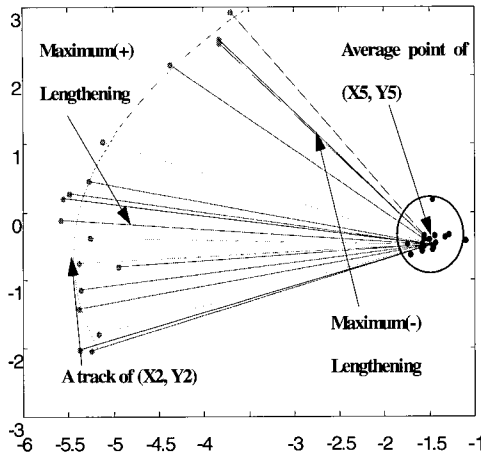


Fig. 6. Length Compensation Graph Between  $(X_2, Y_2)$  and  $(X_5, Y_5)$

을 관찰하였고 단위는 MM이다. 각 프레임에서 얻은 데이터를 다음의 Table 1에 나타내었다.

## 2. 손목관절의 회전축 해석을 위한 좌표분석

개발 목적을 충족시키도록 External Fixator를 설계하기 위해서는 손목관절의 운동 시 거동에 대한 분석을 반드시 필요로 한다. 본 연구에서는 손목관절이 운동 시에 일어나는 뼈의 운동을 분석하기 위한 기초 자료로서 C-Arm에서 관절부위의 영상을 확보하여 거동에 관심이 있는 특정 점을 지정하여 관절의 운동을 파악하도록 하였다.

C-Arm에서 얻어진 영상은 운동 기준점이 되는 팔 부위의 이동이 심하므로, 영상으로부터 직접적으로 운동중심점과 각 뼈의 거동양상을 해석하는 것이 불가능하다. 따라서, 운동 시 발생한 이동을 좌표이동으로 보간하고, 팔 전체의 회전량을 수정하여 해석 데이터로 사용하여야 한다.

본 논문에서는 관절운동 해석의 기준점이 되는 지점으로 비

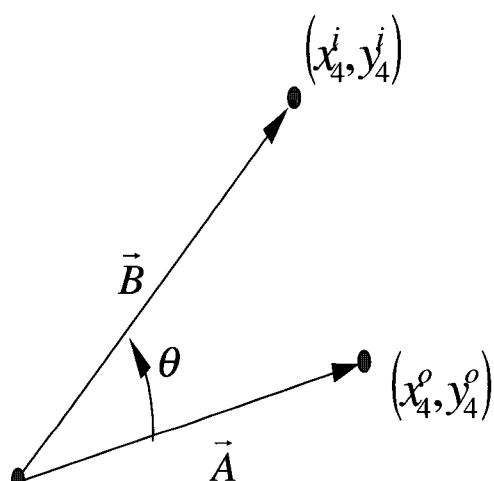


Fig. 4. The Rotation Of Reference Frame

교적 육안적 식별이 용이하고 이상적인 고정상태의 관절운동 시 이동이 발생하지 않는 것으로 알려진  $(X_3, Y_3)$ 지점을 기준점으로 잡았으며, 팔 전체의 회전량을 보정하기 위해 회전의 척도로서  $(X_4, Y_4)$ 점을 별도로 지정하였다.

C-Arm영상의 각 프레임에서 얻어진 점들을 숫자로 데이터화 하고 모든 점들을  $(X_3, Y_3)$ 의 기준으로 평행좌표 이동시킨 후, 집중된  $(X_3, Y_3)$ 점을 중심으로 영상의 각 프레임의  $(X_4, Y_4)$ 점의 회전량을 분석한다.

위  $(x_4^i, y_4^i)$ 는  $(x_4^o, y_4^o)$ 는  $i$ 번째 프레임을 의미한다. C-Arm의 첫번째 프레임으로서 기준이 되는 점이며, 그림에서

$$\vec{A} \cdot \vec{B} = |\vec{A}| |\vec{B}| \cos \theta \quad (2.1)$$

$$\cos \theta = \frac{\vec{A} \cdot \vec{B}}{|\vec{A}| |\vec{B}|} \quad (2.2)$$

이면

$$\theta = \arccos \left( \frac{\vec{A} \cdot \vec{B}}{|\vec{A}| |\vec{B}|} \right) \quad (2.3)$$

가 된다.

식 (2.3) 으로부터 얻은 각도 변위를 이용하여 Table 1에서 얻어진 모든 데이터를 회전 변환하여 Reference Frame을 기준으로 정렬한 후의 모습을 다음의 Fig.5 에 나타내었다. 이 그래프의 해석으로부터 손목이 회전운동 할 때 회전축이 천이 하는 모양을 구할 수 있다.

Fig.5 에서 손목관절의 운동을 묘사하는 중요한 데이터는

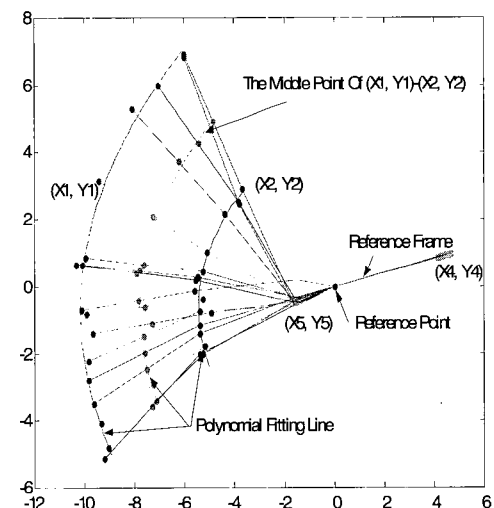


Fig. 5. The Sorting Data With Reference Frame

(X1,Y1), (X2,Y2)의 데이터이므로 추후의 거동해석과 고정기기의 개발에 유용하게 사용하기 위해 각각의 데이터를 조정하였다.

사용된 알고리즘은 3차의 Polynomial에 대한 Nonlinear Least Squares Method이며 그림에서 보는 바와 같이 데이터점들이 Polynomial Fitting Line에 아주 근사한 오차를 가지고 대응함을 알 수 있다.

실제 기구부의 설계 시 중요한 데이터는 손목회전 시 중수골(Metacarpal Bone)과 요골(Radius)간의 길이 보정값이다. 여기서 육안으로 확인된 회전축의 중심점은 중수골과 요골 사이에 위치한 두상골(Pisiform)상에 존재하게 되며, 각 프레임마다 표기된 (X5, Y5) 궤적들의 평균값을 회전중심점으로 한다. 따라서 (X2, Y2)의 궤적과 (X5, Y5)의 평균점을 잇는 직선들을 나타낸 후 Matlab을 이용하여 두 직선을 잇는 최장길이와 최단길이의 차를 산출 해보았다.

최대한 운동궤적을 갖는 손목의 굴절-신전운동(Full Flexion-Extension Motion) 시 중수골과 요골간의 길이 보정값은 Fig.6에서 Maximum (+) lengthening에서 (-) lengthening 값을 뺀 값이며 결과식은 다음과 같다.

최대 운동궤적을 갖는 손목의 굴절-신전 운동 시 길이 보정값:

$$\text{Maximum (+) lengthening Maximum (-) lengthening} = 7.54\text{mm} \quad (2.4)$$

임 30° 씩 회전하면 된다. 따라서 굴절, 신전방향으상학적 실험에 의거하여 실제 환자에게 필요한 손목의 회전각은 손바닥이 Midpoint 상 (굴절, 신전이 없는 상태)에서 굴절, 신전방향으로 각각로 각각 30° 씩 회전한 데이터를 균간으로 하여 앞의 최대 운동궤적 갖는 손목의 굴절-신전운동시와 같은 방법으로 구해보면 다음과 같은 길이 보정값이 산출 된다.

굴절, 신전 방향으 30° 씩 회전한 후 길이 보정값:로 각각

$$\text{Maximum (+) lengthening Maximum (-) lengthening} = 4.44\text{mm} \quad (2.5)$$

전체 길이 보정값의 영역:

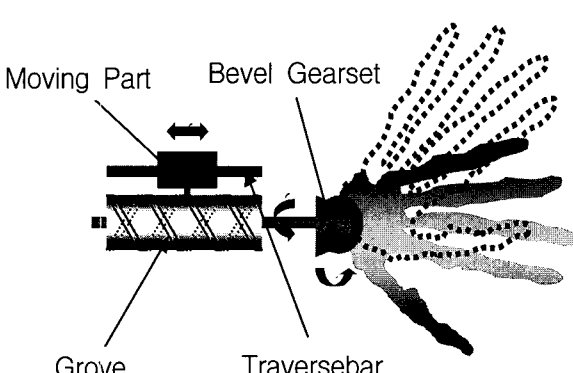


Fig. 7. Traversing Mechanism Used on winding Machines

$$\text{Minimum } 4.44\text{mm} \sim \text{Maximum } 7.54\text{mm} \quad (2.6)$$

이 데이터를 통해 앞으로 설계해야 할 기구부는 손발의 내전-외전작용(Pronation-Supination)축 방향으로 중수골과 요골 간의 길이보정값이 4.44mm에서 7.54mm 값 사이를 만족할 수 있는 사양을 갖춰야 함을 알 수 있다.

### Traversing Mechanism

Fig.7은 Yarn이나 Coil을 감는 기구에 쓰이는 Winding Mechanism을 용용하여 실제 손에 장착 시 기구부의 운동원리를 설명한 것이다.

본 제안모델에서 기구부를 구동하는 구동력은 손목의 상하굴신 운동이다. 따라서 손목회전 시 구동축에 해당하는 베벨기어가 첫 번째 회전을 하게 되며 구동축과 수직인 방향으로 설정된 두 번째 베벨기어가 첫번째 기어와 맞물려 일정한 속도비를 유지하면서 두번쨰 회전을 하게 된다. 다음 두 번째 베벨기어와 같은 축 상에 놓여있는 Groove Cam은 기어와 채결되어 있어 두 번째 베벨기어와 같은 회전속도를 가지며 회전을 하게 된다. 이때 Groove Cam에 파여 있는 일정깊이의 Groove에 맞물려 있는 이송부의 이빨부분은 Traverse Bar를 따라 움직이게 되므로 결국 회전운동을 직선운동으로 전환시킬 수 있다.

본 제안모델의 특징은 첫째, 외부에서 내전-외전 축상(Fig.7의 3번 화살표 방향)으로 충격이 가해질 시, 일정깊이의 Groove에 맞물려 있는 이송부의 이빨부분이 저항력을 발휘하므로 내전-외전 축상으로 밀려들거나 늘어날 소지가 없다.

둘째, 완두꼴과 요골 부분이 서로 붙어서 떨어지지 않는 것을 방지 하도록 손 바깥쪽으로 일정한 힘을 가하여 잡아당기는 시술과정이 있게 되는데, 이때 특별한 장치부가 없어 복원력에 대한 일정한 완충력을 발휘할 수 없다면 다시 근육에 의해 완두꼴과 요골 부분이 서로 붙게 되는 문제점이 발생한다. 본 제안에선 고정기기의 근위부에 내전-외전 축상으로 길이 조정 후 채결장치가 있으므로 복원력을 상쇄시키는 효과가 있다.

셋째, 본 제안모델은 손목의 굴신운동을 임상학적 실험에서 타당하게 검증된 수치인 굴절, 신전 방향으로 각각 30° 씩 회전한 회전량으로 제안한 후 이 회전량 동안 내전-외전 축 방향으로 5mm정도의 길이 보정이 가능하게끔 Groove Cam 설계를 하여 손목운동 시 요구되어지는 중수골과 완두꼴 사이에서의 길이 보정을 가능하게 해준다.

Fig.8은 설계를 통해 얻어진 편측 체외고정기기의 3차원 렌더링이다. 체외고정기를 시술한 후에도 조기관절 운동 시에 수근관절의 생리학적 운동을 저해하거나 원위요골 굴절부위에 불필요한 힘이 가해지지 않도록 고정기기의 회전축과 수근관절의 회전축인 유두꼴 근위부를 일치시킬 수 있도록 고안 했다. 이것은 제 2 혹은 제 3 중수골에 삽입되는 편과 골

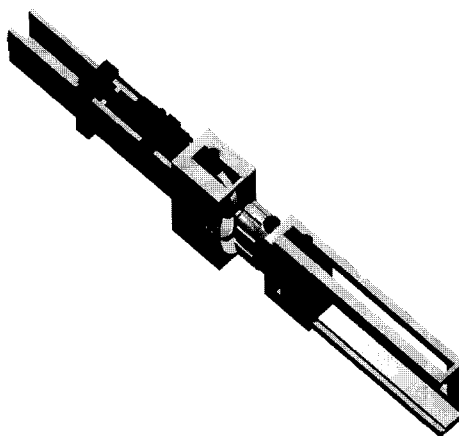


Fig. 8. External Fixator With Groove Cam

절부보다 근위부에 삽입되는 편을 고정하는 고정기기의 몸통을 고정기기의 회전축에서 원위 혹은 근위로 움직일 수 있도록 하고, 마지막에 Cam의 도입부를 따라 기구부가 손목의 모션을 정확하게 추정함으로써 어느 한쪽에서만 움직이고 조절할 수 있도록 한 기준의 구조를 개선한다.

Fig.9 에서 Main Body에 고정되어 내전-외전 축 방향 (2번 화살표 방향) 으로 움직임이 없는 Tuning Gear를 1번 화살표 방향으로 회전 시켜주면, Tuning Gear와 맞물려 있는 Part B가 나사선을 타고 2번 화살표 방향으로 움직이게 되며, 결국 Part B와 같이 체결되어 있는 Part C를 이동시키게 된다. 이 때 Part C와 Part C위에 고정핀을 체결하는 체결 Part 가(Fig.8 참조) 같이 이동함으로써 두번째 중수골에 장착 해야 할 고정핀의 내전-외전 축 방향 조율을 마치게 된다.

내전-외전 축 방향 조율이 끝난 후 움직이지 않도록 단단히 체결한다. 다음 손목의 굴신 운동이 시행됨에 따라 베벨 기어가 3번 화살표 방향으로 회전하게 되며, 내전-외전 축 방향으로 움직임이 없도록 고정되어 있는 Part B를 같은 방향으로 회전하게 한다. Part B와 Spring Plunger로 연결되어 있는 Part C는 Part B상의 Groove가 회전함에 따라 Spring Plunger가 Groove를 타고 4번 방향으로 직선 운동하게 되며 Part C는 Groove설계 시 설정된 Stroke만큼 움직이게 된다.

## 결 론

본 논문에서는 지금까지 개발된 체외고정기기의 문제점을 파악하고, 이를 임상학적 인 실험 데이터와 연계 시켜 기존의 단점을 보완한 제안모델을 제시하였다.

기존 제품과의 차별화 된 새로운 개념인, 관절의 생리적 운동을 구현할 수 있는 동적 운동기능을 구현한 체외고정기를 개발하였다. 이 기구는 임상학적으로 우수한 결과는 물론, 국내 및 국외로부터의 부가가치를 창출할 수 있을 것이다. 동시에, 점차 커지고 있는 동양권 국가, 즉 동남아 및 중국 시장에 대

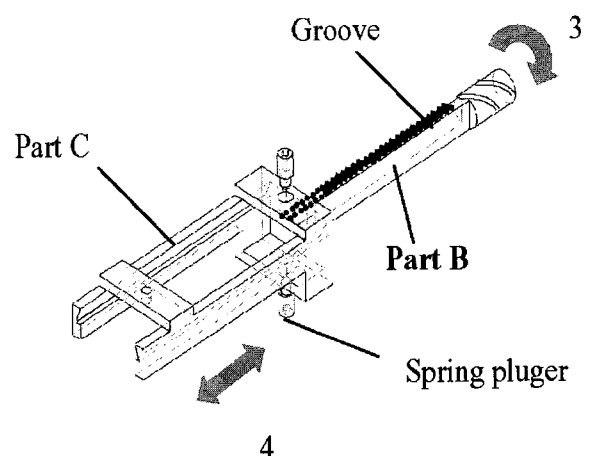
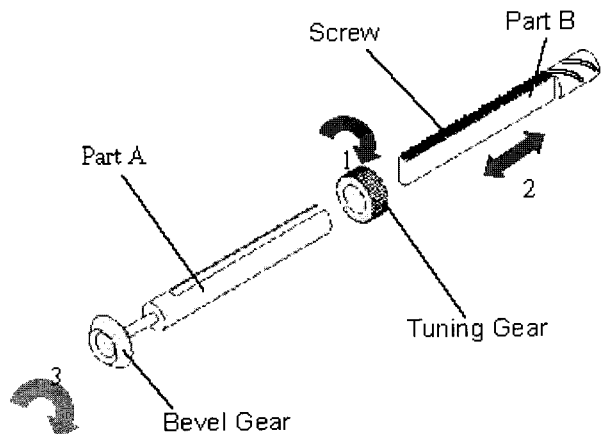


Fig. 9. Lengthening Controller

한 장기적인 전략 수출품으로서 자리잡을 수 있을 것이며, 크게는 구미 여러 제품들과도 상당한 경쟁력을 확보할 수 있을 것이다.

## 참 고 문 현

1. K-N.An and E.Y-S. Chao, Kinetic Analysis, Biomechanics of the Wrist Joint, 1991, Springer-Verlag
2. J.Ryu, A.K. Palmer, and W.P. Cooney, III, Wrist Joint Motion, Biomechanics of the Wrist Joint, 1991, Springer-Verlag
3. M. Garcia-Elias, E. Horisi, and R.A. Berger, Individual Carpal Bone Motion, Biomechanics of the Wrist Joint, 1991, Springer-Verlag
4. Youngil Youm and Adrian E. Flatt, Design of a total wrist prosthesis, Annals of Biomedical Engineering, Vol. 12, pp. 247-262., 1984

5. Nicholas P. Chironis, Traversing mechanisms used on winding machines, MECHANISMS & MECHANICAL DEVICES SOURCEBOOK, 1991, McGraw-Hill, Inc.
6. Fan Y. Chen, Mechanics and Design of Cam Mechanisms, 1982, PERGAMON PRESS
7. Zdenek Koloc and Miroslav Vaclavik, Cam Mechanisms, 1993, Elsevier
8. 朴榮組, 機械設計, 1981, 普成文化社